

Н.А. Водолазкая

## КИСЛОТНО-ОСНОВНЫЕ И ТАУТОМЕРНЫЕ РАВНОВЕСИЯ ФЛУОРЕСЦЕИНА В СМЕШАННЫХ МИЦЕЛЛАХ ЦВИТТЕРИОННОГО СУЛЬФОБЕТАИНОВОГО ПАВ С КАТИОННЫМ, АНИОННЫМ И НЕИОННЫМ ПАВ

Харьковский национальный университет имени В.Н. Каразина  
пл. Свободы, 4, Харьков, 61022, Украина, E-mail: vodolazkaya@univer.kharkov.ua

При помощи спектрофотометрического метода определены показатели «кажущихся» констант ионизации флуоресцеина в смешанных мицеллах цвиттерионного ПАВ – цетилдиметиламмонийпропансульфоната – с катионным, анионным и неионным ПАВ. По спектрам поглощения красителя сделаны выводы о таутомерии молекулярных и ионных форм.

**Ключевые слова:** флуоресцеин, мицеллы, спектры поглощения красителя, константы ионизации

Флуоресцеин благодаря своим уникальным фотофизическими свойствам находит широкое применение при исследовании истинных и коллоидных растворов, а также в биохимии, биомедицине, фотофизике и других сопредельных науках [1–4]. Спектры поглощения и флуоресценции этого красителя сильно зависят от pH [2, 5–8] и поэтому для его рационального использования необходимо располагать данными о константах ионизации индикатора в соответствующих растворителях.

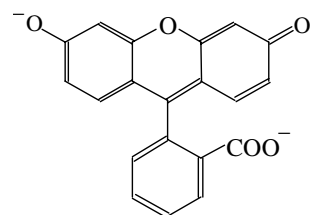
Флуоресцеин достаточно подробно исследован в органических и водно-органических смесях, в мицеллярных растворах ПАВ и других организованных системах [2, 9–11].

Ранее [12] нами было изучено поведение флуоресцеина и его производных в мицеллах цвиттерионного амфиfila. Однако в литературе отсутствуют данные о константах ионизации флуоресцеина в бинарных смесях ПАВ, содержащих цвиттерионное сульфобетаиновое ПАВ, которое может взаимодействовать как с анионными и катионными, так и с неионными ПАВ [13, 14]. При этом во всех случаях образуются изотропные прозрачные мицеллярные растворы в отличие, например, от смесей катионного и анионного ПАВ.

Поэтому, продолжив систематическое исследование протолитических свойств флуоресцеина [2], мы изучили кислотно-основные и таутомерные превращения

флуоресцеина в смешанных мицеллах цвиттерионного сульфобетаинового ПАВ (цетилдиметиламмонийпропансульфонат, ЦДАПС) с катионным (цетилtrimетиламмоний бромид, ЦТАБ), анионным (*n*-додецилсульфат натрия, ДСН) и неионным (Тритон X-100, TX-100) поверхностно-активными веществами.

Структурная формула дианиона,  $R^{2-}$ , флуоресцеина приведена ниже:



Значения  $pK_a$ , отвечающие равновесиям ступенчатой ионизации красителя [уравнения (1–3)], были определены при 25.0 °C и ионной силе, I, объемной фазы 0.05 M (NaCl + компоненты буферного раствора или HCl) при помощи спектрофотометрического метода с потенциометрическим контролем pH водной фазы [12].

$$H_3R^+ \rightleftharpoons H_2R + H^+, \quad K_{a0} \quad (1)$$

$$H_2R \rightleftharpoons HR^- + H^+, \quad K_{a1} \quad (2)$$

$$HR^- \rightleftharpoons R^{2-} + H^+, \quad K_{a2} \quad (3)$$

Концентрация красителя была порядка  $10^{-6}$ – $10^{-5}$  М, суммарная концентрация ПАВ в бинарной смеси составляла  $1.5 \times 10^{-3}$  М в случае добавок ЦТАБ к цвиттерионному ПАВ и  $5 \times 10^{-3}$  М – с добавками ДСН или ТХ-100. Таким образом, на одну мицеллу ПАВ приходилось не более одной молекулы красителя, если считать, что число агрегации для данного сорта мицелл порядка 100 [15].

При исследовании индикаторных красителей в мицеллярных растворах ПАВ ключевой характеристикой является так называемая «кажущаяся» константа ионизации,  $K_a^a$  (верхний индекс обозначает слово «apparent») [2, 10, 15]. Отношение концентраций равновесных форм индикатора ( $\text{HR}^z \rightleftharpoons \text{R}^{z-1} + \text{H}^+$ ) в коллоидной системе определяется при помощи спектрофотометрического метода, а значение  $\text{pH}_w$  характеризует объемную (водную) фазу и определяется потенциометрически в цепи с переносом, включающей стеклянный электрод в качестве индикаторного и хлоридсеребряный как электрод сравнения.

Фактически  $K_a^a$  является константой двухфазного кислотно-основного равновесия при условии полного или частичного связывания обеих или одной из равновесных форм индикатора мицеллярной псевдофазой [10, 15].

В основе общепризнанной электростатической модели для индикаторов, связанных мицеллами, лежит уравнение, связывающее значение  $\text{p}K_a^a$  и электростатический потенциал ( $\Psi$ ) в области локализации связанных ионов или молекул [10, 15].

**Стандартная методика определения  $\text{p}K_a^a$ .** Для флуоресцина равновесия (2) и (3) сильно перекрываются, поэтому значения  $\text{p}K_a^a$  были рассчитаны из зависимостей светопоглощения от pH при фиксированной длине волны и постоянной общей концентрации красителя согласно уравнению (4) с использованием компьютерной программы CLINP [16].

$$A = \frac{A_{\text{H}_2\text{R}} h^2 + A_{\text{HR}^-} h K_{a1} + A_{\text{R}^{2-}} K_{a1} K_{a2}}{h^2 + h K_{a1} + K_{a1} K_{a2}}, \quad (4)$$

где  $A$  – светопоглощение при соответствующем значении pH;  $A_{\text{H}_2\text{R}}$ ;  $A_{\text{HR}^-}$ ;  $A_{\text{R}^{2-}}$  – светопоглощение в условиях полного превращения красителя в соответствующую форму;  $h = 10^{-\text{pH}}$ .

Для определения значений  $\text{p}K_{a1}^a$  и  $\text{p}K_{a2}^a$  использовали 15–20 рабочих растворов с различными значениями pH и в среднем 20 аналитических длин волн. Спектры ионов  $\text{R}^{2-}$  измеряли при pH 9–12 в разбавленных растворах NaOH. Так как равновесие (1) сильно смещено в кислую область в изучаемых средах, то спектр формы  $\text{H}_3\text{R}^+$  зафиксировать не удалось и значения  $\text{p}K_{a0}^a$  не были определены.

Величины светопоглощений моноаниона при различных длинах волн можно рассчитать, имея значения  $\text{p}K_{a1}^a$  и  $\text{p}K_{a2}^a$ , по уравнению (5) в интервале  $\text{p}K_{a1}^a \leq \text{pH} \leq \text{p}K_{a2}^a$ :

$$A_{\text{HR}^-} = A + (A - A_{\text{H}_2\text{R}})h(K_{a1})^{-1} + (A - A_{\text{R}^{2-}})(h)^{-1}K_{a2}. \quad (5)$$

Уточнение экспериментально найденных значений  $A_{\text{H}_2\text{R}}$  было выполнено при  $\text{pH} \leq \text{p}K_{a1}^a$  с помощью уравнения (6):

$$A_{\text{H}_2\text{R}} = A + (A - A_{\text{HR}^-})(h)^{-1}K_{a1} + (A - A_{\text{R}^{2-}})(h)^{-2}K_{a1}K_{a2}, \quad (6)$$

чтобы избежать какого-либо влияния следов интенсивно окрашенных форм  $\text{HR}^-$  и  $\text{R}^{2-}$  флуоресцина на спектры нейтральных форм.

Типичные спектры поглощения флуоресцина от pH представлены на рис. 1.

Результаты определения  $\text{p}K_a^a$  ступенчатой ионизации флуоресцина приведены в табл. 1. В таблице 2 представлены спектральные характеристики ионных и молекулярных форм красителя.

Ступенчатая диссоциация флуоресцина представлена на схеме 1 [2].

Все структуры флуоресцина в растворах являются окрашенными, за исключением лактона IV, бесцветного из-за  $sp^3$ -гибридизации узлового атома углерода. Анионы  $\text{HR}^-$  и  $\text{R}^{2-}$  флуоресциновых красителей также могут иметь лактонное строение (не показаны на схеме 1), но лишь в том случае, когда в качестве заместителей в положениях 2,4,5,7 имеются нитрогруппы [2]. Что же касается

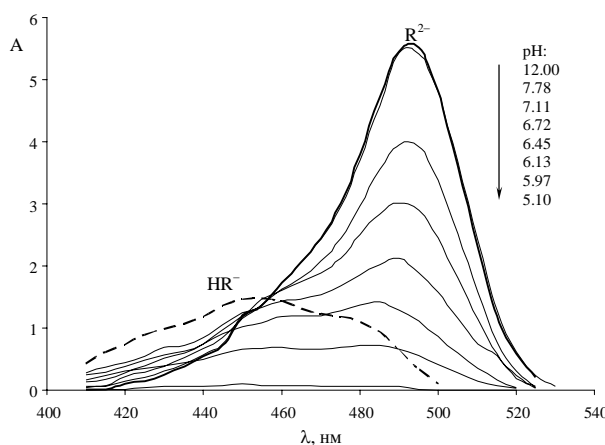
таутомерии однозарядных анионов  $\text{HR}^-$ , то известно, что в случае узких полос поглощения (частицы VI и VII) ионизация карбоксильной группы проявляется в спектрах и приводит к гипсохромному сдвигу максимума на

несколько нанометров [2]. В ходе данного исследования таутомерной формы моноаниона в виде частицы VI зафиксировано не было (см. табл. 2).

**Таблица 1.** Значения  $\text{p}K_a^a$  флуоресцеина в различных системах при  $I = 0.05 \text{ M}$  ( $\text{NaCl}$  + компоненты буферного раствора),  $25^\circ\text{C}$

Система		$\text{p}K_{a1}^a$	$\text{p}K_{a2}^a$
вода, $I \rightarrow 0$ [2]		$4.45 \pm 0.02$	$6.80 \pm 0.01$
неионное ПАВ (Твин-80) [2]		6.33	6.56
ЦТАБ, $I = 4 \text{ M}$ ( $\text{KCl}$ ) [11]		$6.41 \pm 0.10$	$7.17 \pm 0.06$
цетилпиридиний хлорид (ЦПХ), $I = 0.05 \text{ M}$ ( $\text{KCl}$ ) [2]		$3.60 \pm 0.05$	$5.54 \pm 0.11$
$1.5 \times 10^{-3} \text{ M}$ ЦДАПС, $I = 0.05 \text{ M}$ ( $\text{NaCl}$ ) [12]		$5.95 \pm 0.04$	$6.80 \pm 0.03$
мольная доля ЦТАБ в смеси [ЦТАБ – ЦДАПС] $\Sigma C$ (ПАВ) = $1.5 \times 10^{-3} \text{ M}$			
0.25		$5.22 \pm 0.06$	$6.29 \pm 0.02$
0.50		$4.75 \pm 0.17$	$5.87 \pm 0.08$
0.75		$4.59 \pm 0.05$	$5.98 \pm 0.02$
1 <sup>1</sup>		$4.27 \pm 0.03$	$5.55 \pm 0.02$
мольная доля ДСН в смеси [ДСН – ЦДАПС] $\Sigma C$ (ПАВ) = $5 \times 10^{-3} \text{ M}$			
0.25		$6.22 \pm 0.17$	$6.57 \pm 0.12$
0.50		$5.99 \pm 0.09$	$6.23 \pm 0.09$
0.75		$5.42 \pm 0.13$	$6.19 \pm 0.06$
1 <sup>1</sup>		–	–
мольная доля TX-100 в смеси [TX-100 – ЦДАПС] $\Sigma C$ (ПАВ) = $5 \times 10^{-3} \text{ M}$			
0.25		$5.87 \pm 0.16$	$6.87 \pm 0.25$
0.50		$5.96 \pm 0.08$	$6.65 \pm 0.04$
0.75		$6.33 \pm 0.04$	$6.75 \pm 0.03$
1 (Твин-80)		6.33	6.56

<sup>1</sup> В мицеллах ДСН значения  $\text{p}K_a^a$  флуоресцеина не были определены, так как формы  $\text{HR}^-$  и  $\text{R}^{2-}$  не связываются отрицательно заряженной поверхностью



**Рис. 1.** Спектры поглощения флуоресцеина при варьировании  $\text{pH}$  в смешанных мицеллах ЦДАПС и TX-100 при  $\Sigma C$  (ПАВ) =  $5 \times 10^{-3} \text{ M}$ , мольная доля TX-100 равна 0.5. Спектр формы  $\text{HR}^-$  рассчитан совокупно со значениями  $\text{p}K_{a1}^a$  и  $\text{p}K_{a2}^a$  и уточнен по уравнению (5)

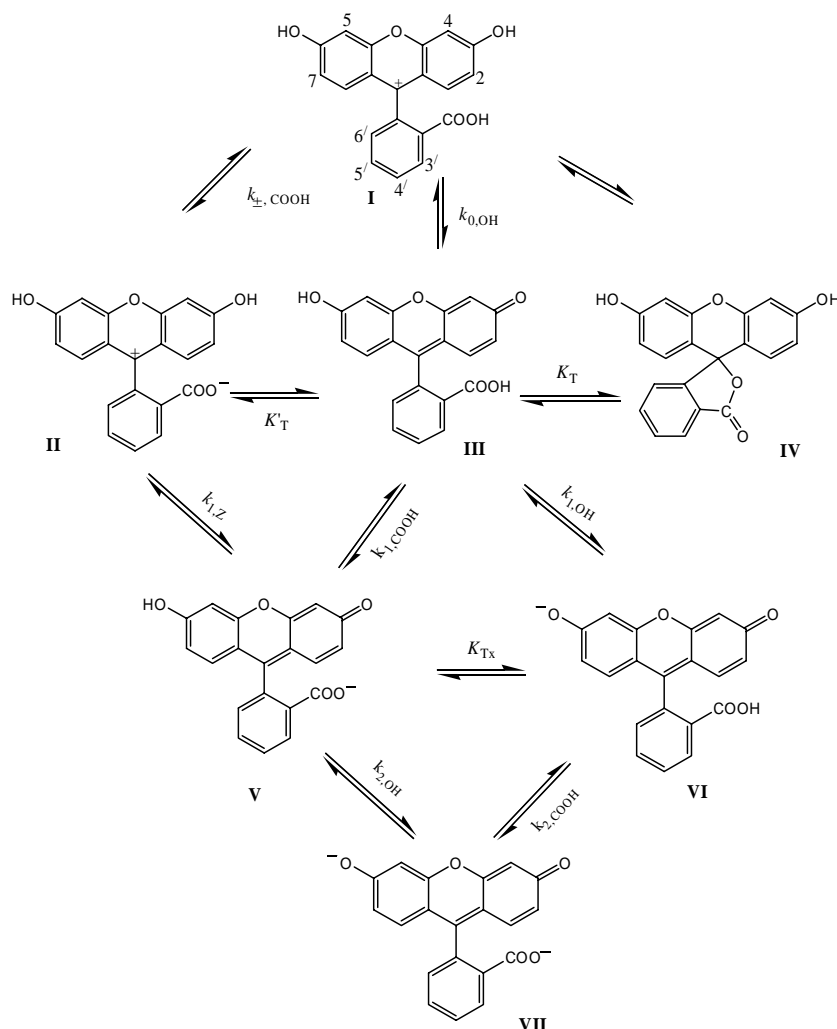
**Таблица 2.** Спектральные свойства флуоресцина в различных системах при  $I = 0.05 \text{ M}$  ( $\text{NaCl} + \text{компоненты буферного раствора}$ ),  $25^\circ\text{C}$ 

Система	$\lambda_{\max} \text{ нм} / E_{\max} \times 10^{-3}, \text{M}^{-1}\text{см}^{-1}$		
	$\text{H}_2\text{R}$	$\text{HR}^-$	$\text{R}^{2-}$
вода [2]	437(13.9); 470(4.0); 485(3.0)	454(32.7); 474(33.8)	491(88.0)
неионное ПАВ (Твин-80) [2]	— <sup>1</sup>	453–455; 469–473	490–492
ЦТАБ, $I = 4 \text{ M}$ ( $\text{KCl}$ ) [11]	465; 490	455; 480	500
$1.5 \times 10^{-3} \text{ M}$ ЦДАПС, $I = 0.05 \text{ M}$ ( $\text{NaCl}$ ) [12]	465; 495	455; 475	500
мольная доля ЦТАБ в смеси [ЦТАБ – ЦДАПС] $\Sigma C$ (ПАВ) = $1.5 \times 10^{-3} \text{ M}$			
0.25	460; 480–485	455; 485	500
0.50	455–460; 480–485	455; 485	500
0.75	460; 480–485	460; 485	500
1	455; 480–485	455; 485	500
мольная доля ДСН в смеси [ДСН – ЦДАПС] $\Sigma C$ (ПАВ) = $5 \times 10^{-3} \text{ M}$			
0.25	445(1.01); 475(0.67)	460(22.67); 475(23.10)	491(82.59)
0.50	445(0.95); 490(0.33)	455(32.87); 470(32.65)	491(84.47)
0.75	440(8.48); 480(2.05)	460(26.27); 475(29.64)	490(84.82)
1 <sup>2</sup>	—	—	—
мольная доля TX-100 в смеси [TX-100 – ЦДАПС] $\Sigma C$ (ПАВ) = $5 \times 10^{-3} \text{ M}$			
0.25	— <sup>3</sup>	460(42.89); 490(40.90)	499(85.65)
0.50	— <sup>3</sup>	455(21.87); 475(17.51)	493(82.93)
0.75	— <sup>3</sup>	455(39.97); 480(37.39)	491(91.20)
1	см. $\lambda_{\max}$ в этой таблице для неионного ПАВ (Твин-80)		

<sup>1,3</sup> Наблюдается сильное обесцвечивание нейтральной формы флуоресцина из-за образования бесцветного лактона. <sup>2</sup> В мицеллах ДСН значения  $\lambda_{\max}$  флуоресцина не были определены, так как формы  $\text{HR}^-$  и  $\text{R}^{2-}$  не связываются отрицательно заряженной поверхностью

**Протолитические равновесия флуоресцина в смеси цвиттерионного и катионного ПАВ.** Из литературных данных известно [14], что присутствие мицелл катионных и цвиттерионных ПАВ увеличивает «кажущуюся» кислотность сопряженных форм 2-фенилацетилфурана и 2-фенилацетилтиофена. Это объясняется сродством мицелл этих ПАВ к енольной форме этих двух

субстратов. Кроме того, в данной работе рассматриваются вопросы ассоциации некоторых анионных красителей с цвиттерионными мицеллами, влияние добавок сульфобетаинового ПАВ на полимерный гель, содержащий краситель – феноловый красный, а также спектральные характеристики азокрасителей в растворах цвиттерионных ПАВ и их смесях с ионными и неионными ПАВ [14].



**Схема 1.** Протолитические превращения флуоресцина:  $K_T = [IV] / [III]$ ;  $K'_T = [II] / [III]$ ;  $K_{Tx} = [VI] / [V]$ ;  $k_{\pm COOH} = a_{H^+} a_{II} / a_I$ ;  $k_{0,OH} = a_{H^+} a_{III} / a_I$ ;  $k_{1,Z} = a_{H^+} a_V / a_{II}$ ;  $k_{1,COOH} = a_{H^+} a_V / a_{III}$ ;  $k_{2,OH} = a_{H^+} a_{VII} / a_V$ ;  $k_{1,OH} = a_{H^+} a_{VI} / a_{III}$ ;  $k_{2,COOH} = a_{H^+} a_{VII} / a_{VI}$ .

Из полученных данных видно (табл. 2), что по сравнению с водными растворами наблюдается сдвиг максимума полосы поглощения формы  $R^{2-}$  флуоресцина на 9 нм для смешанных мицелл. Это свидетельствует о связывании дианиона как смешанными мицеллами, так и катионными, и цвиттерионными мицеллами за счет гидрофобного и электростатического взаимодействий.

Анализ полученных спектров поглощения моноаниона  $HR^-$  флуоресцина показывает сдвиг второго максимума полосы поглощения на 11 нм в смешанных и катионных мицеллах по сравнению с водой, что подтверждает связывание этой формы наноагрегатами.

Спектральные характеристики формы  $HR^-$  флуоресцина в мицеллах цвяттергента напоминают таковые в мицеллах неионного ПАВ (табл. 2). Характер спектра моноаниона флуоресцина свидетельствует о преобладании таутомера (V) (см. схему 1) [2] как для смешанных, так и для мицелл катионных и цвяттерионных ПАВ, и водных растворов.

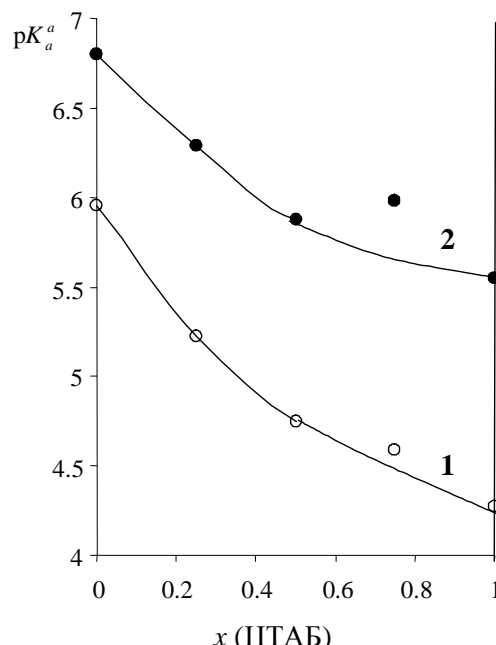
Для нейтральной формы  $H_2R$  изученного красителя наблюдается гипсохромный сдвиг второго значения  $\lambda_{max}$  примерно на 10 нм относительно водного раствора и исчезновение полосы поглощения в районе 437 нм, относящейся к полярному цвяттерионному таутомеру II. Это характерно для неводных и

водно-органических сред [2]. Форма  $\text{H}_2\text{R}$  флуоресцина полностью связывается смешанными мицеллами, а также мицеллами цвяттерионного и катионного ПАВ из-за ее малой растворимости в воде. По форме спектра нейтральной формы (табл. 2) можно судить о наличии поглощающих частиц (III), находящихся в равновесии с лактонными структурами (IV), во всех системах [2]. Сильное обесцвечивание растворов в области pH, соответствующей полному выходу нейтральной формы флуоресцина, свидетельствует о сильном сдвиге таутомерного равновесия [хиноид (III)  $\rightleftharpoons$  лактон (IV)] в сторону образования бесцветного лактона как в смешанных, так и в мицеллах катионного и цвяттерионного ПАВ.

Спектральные характеристики всех форм индикатора в смешанных мицеллярных растворах напоминают таковые для мицелл катионных ПАВ, что свидетельствует о большем электростатическом взаимодействии ионных форм флуоресцина с головными группами катионного ПАВ в смешанных мицеллах. Следовательно, несмотря на высокий дипольный момент гидрофильной части амфиfila, агрегаты последнего можно рассматривать скорее как мицеллы катионного ПАВ с ковалентно фиксированными в эквивалентном количестве противоионами (группы  $\text{SO}_3^-$ ) и в целом их воздействие на связанные молекулы и ионы красителей аналогично эффектам нейтральных мицелл.

Из таблицы 1 видно, что значения  $\text{p}K_{a1}^a$  и  $\text{p}K_{a2}^a$  флуоресцина возрастают при увеличении содержания цвяттерионного ПАВ (рис. 2). Как известно [15], неионные добавки повышают значения  $\text{p}K_a^a$  органических реагентов в случае мицелл катионных ПАВ, таким образом, появление нейтральных молекул в области Штерна приводит к снижению поверхностной плотности заряда и, следовательно, снижает значение  $|\Psi|$  поверхности катионных мицелл [10, 15]. Это свидетельствует о том, что в данном случае цвяттергент ведет себя как неионная добавка [12, 15]. Например, в смеси неионного ПАВ (Твин-80) и катионного ПАВ *N*-цетилпиридиний хлорида (мольная доля последнего равна 0.2),  $\sum C_{\text{ПАВ}} = 0.003 \text{ M}$ ,  $I = 0.05 \text{ M}$  значения показателей «кажущихся» констант

ионизации,  $\text{p}K_{a1}^a$  и  $\text{p}K_{a2}^a$  составили 5.83 и 6.68 соответственно [17]. Сравнение этих данных с изученными нами системами смешанных мицелл ЦТАБ и ЦДАПС, показывает, что цвяттерионное ПАВ в данном случае проявляет свойство неионной добавки.



**Рис. 2.** Зависимость значений  $\text{p}K_a^a$  флуоресцина в смеси цвяттерионного ПАВ (ЦДАПС) и катионного ПАВ (ЦТАБ),  $\Sigma C$  (ПАВ) =  $1.5 \times 10^{-3} \text{ M}$ ,  $I = 0.05 \text{ M}$  ( $\text{NaCl}$  + компоненты буферного раствора); 1 –  $\text{p}K_{a1}^a$ , 2 –  $\text{p}K_{a2}^a$

Таким образом, в смеси катионного и цвяттерионного ПАВ последнее ведет себя как неионное ПАВ, увеличивая значения как  $\text{p}K_{a1}^a$ , так и  $\text{p}K_{a2}^a$  флуоресцина, а, следовательно, снижает значение  $|\Psi|$  в смешанных мицеллах за счет появления нейтральных молекул в области Штерна, что приводит к снижению поверхностной плотности заряда.

**Протолитические равновесия флуоресцина в смеси цвяттерионного и анионного ПАВ.** Из таблицы 2 видно, что не наблюдается сдвига максимума полосы поглощения формы  $\text{R}^{2-}$  для смешанных мицелл по сравнению с таковым для водных растворов, в то время как в мицеллярных растворах цвяттерионного ПАВ без добавок ДСН  $\lambda_{\text{max}}$  сдвигается на 9 нм. Это свидетельствует о полном связывании дианиона флуоресцина цвяттерионными мицеллами.

лами, но не смешанными мицеллами цвиттерионного и анионного ПАВ.

Анализ полученных спектров поглощения моноаниона  $\text{HR}^-$  флуоресцина показывает, что сдвиг максимума полосы поглощения по сравнению с водными растворами незначителен, иногда в пределах погрешности измерения  $\pm 5$  нм, что может свидетельствовать о неполном связывании этой формы псевдофазой смешанных мицелл. Характер спектра моноаниона данного красителя [2] позволяет заключить, что форма  $\text{HR}^-$  находится преимущественно в виде карбоксилатного таутомера V (см. схему) в смешанных анион-цивттерионных мицеллах.

Форма  $\text{H}_2\text{R}$  флуоресцина полностью связывается псевдофазой данного типа. Как и в случае смешанных мицелл катионного и цвттерионного ПАВ, нейтральная форма находится в виде поглощающей частицы III в равновесии с бесцветной лактонной структурой (IV). Обесцвечивание растворов нейтральной формы флуоресцина свидетельствует о сильном сдвиге таутомерного равновесия в сторону образования бесцветного лактона в смешанных мицеллах данного типа.

Что же касается изменений величин  $\text{p}K_a^a$  красителя с увеличением мольной доли анионного ПАВ в смеси, то наблюдается небольшое возрастание показателей значений ступенчатой диссоциации флуоресцина. Это может объясняться вкладом в  $\text{p}K_a^a$  электростатической составляющей  $(-\frac{\Psi F}{2.303RT})$  [10, 15].

**Протолитические равновесия флуоресцина в смеси цвттерионного и неионного ПАВ.** Из полученных спектральных данных для дианиона  $\text{R}^{2-}$  флуоресцина в смешанных мицеллах цвттерионного и неионного ПАВ при различной мольной доле последнего (рис. 1 и табл. 2) можно сделать следующие выводы. По мере увеличения мольной доли неионного ПАВ в смешанных цвттерион-неионных мицеллах,  $\lambda_{\max}$  сдвигается гипсохромно по сравнению с таковым в мицеллах ЦДАПС и уже примерно при мольной доле TX-100, равной 0.5, становится таким же как в воде. Это может свидетельствовать о неполном связывании формы  $\text{R}^{2-}$  флуоресцина по мере появления в слое Штерна смешанных мицелл молекул неионного ПАВ, что приводит к

ослаблению электростатического взаимодействия дианиона с аммониевым центром молекул ЦДАПС.

Судя по спектрам поглощения моноаниона  $\text{HR}^-$  флуоресцина (табл. 2), практически не наблюдается сдвига максимума полосы поглощения по сравнению с водными растворами, что свидетельствует о неполном связывании этой формы смешанными мицеллами. Моноанион  $\text{HR}^-$  флуоресцина в данной системе, как и в предыдущих случаях, находится преимущественно в виде карбоксилатного таутомера V при всех соотношениях ЦДАПС и TX-100. Такой характер таутомерии моноаниона флуоресцина наблюдается как в водных растворах, так и в смешанных мицеллах ЦДАПС и различного вида ПАВ.

Форма  $\text{H}_2\text{R}$  флуоресцина практически полностью обесвечивается в смешанных мицеллах неионного и цвттерионного ПАВ по сравнению как с водными растворами, так и с другими смешанными мицеллами. Это подтверждает сильный сдвиг таутомерного равновесия [хиноид (III)  $\rightleftharpoons$  лактон (IV)] в сторону образования бесцветного лактона IV. Видимо, это отражает взаимодействие молекуллярной формы красителя с оксиэтиленовыми цепочками неионного ПАВ. Известно, что слой Штерна неионных мицелл, представляющий собой оксиэтиленовую «мантию», имеет достаточно низкое значение эффективной диэлектрической проницаемости (порядка 30–40) [15]. Такое микроокружение, по всей видимости, и приводит к сильному сдвигу таутомерного равновесия в сторону лактонной структуры, которая преобладает в средах с достаточно низкой диэлектрической проницаемостью [2].

По полученным данным видно (табл. 1), что значение  $\text{p}K_{a1}^a$  по сравнению с водными растворами увеличивается в мицеллах как цвттерионного ПАВ, так и неионного ПАВ. При этом в мицеллах неионного ПАВ в большей степени, чем в мицеллах ЦДАПС, то есть свойства мицеллярных растворов ЦДАПС напоминают свойства мицелл неионных ПАВ, а не мицелл катионных ПАВ [12]. По мере увеличения мольной доли Тритона X-100 в смешанных цвттерион-неионных мицеллах значения  $\text{p}K_{a1}^a$  закономерно увеличиваются.

Что же касается значений  $pK_{a2}^a$ , то как в мицеллах ЦДАПС, Тритона X-100, так и в смешанных мицеллах их изменения по сравнению с водными значениями незначительны. Это, вероятно, объясняется неполным связыванием диамина данными агрегатами.

По полученным кислотно-основным характеристикам флуоресцеина в смешанных мицеллах цвиттерионного и неионного ПАВ можно заключить, что добавка неионного ПАВ к мицеллам ЦДАПС по отношению к кислотно-основным свойствам красителя усиливает «неионный» характер влияния мицелл цвиттерионного ПАВ.

### ЭКСПЕРИМЕНТАЛЬНАЯ ЧАСТЬ

Поверхностно-активные вещества использовались без дополнительной очистки: цетилдиметиламмонийпропансульфонат (99.0 %) фирмы «Fluka», *n*-додецилсульфат натрия (99.0 %) фирмы «Вектон», цетилtrimетиламмоний бромид (99.0 %) и Тритон X-100 фирмы «Sigma». Использовали флуоресцеин, применяющийся ранее в нашей лаборатории [12].

**Методика приготовления растворов.** Исходные растворы ПАВ готовили весовым методом. Объемный метод для приготовления растворов не является подходящим, так как возникают трудности при перенесении навески в колбу вследствие обильного вспенивания вещества.

Растворы красителя готовили весовым методом с последующим разбавлением. Так как краситель полностью не растворялся, то его

раствор пропускали через бумажный складчатый фильтр. Концентрацию флуоресцеина устанавливали спектрофотометрически, применяя закон Бугера-Ламберта-Бера. Значение молярного коэффициента светопоглощения флуоресцеина принимали равным  $88000 \text{ M}^{-1}\text{cm}^{-1}$  при  $\lambda_{\max} = 491 \text{ nm}$  [2].

Рабочие растворы готовили объемным методом путем отбора аликов исходных растворов при термостатировании ( $t = 25.0 \pm 0.1 \text{ }^\circ\text{C}$ ). Значения pH варьировали при помощи фосфатных, ацетатных либо боратных буферных растворов, а также растворов хлороводородной кислоты (при pH < 4).

Для измерения светопоглощения использовался спектрофотометр СФ-46 (ЛОМО). При проведении эксперимента использовались стеклянные кюветы 1 и 5 см, в зависимости от интенсивности окраски раствора, при том, чтобы значения светопоглощения не были ниже 0.1 и выше 1.3.

Для измерения ЭДС использовался pH-метр pH-151МИ. Значение pH водной фазы измеряли при термостатировании ( $t = 25.0 \pm 0.1 \text{ }^\circ\text{C}$ ) при помощи стеклянного электрода в цепи с переносом, градуированной по стандартным буферным растворам.

Автор выражает благодарность своим студентам-дипломникам Лариной О.В., Пушкиревской Е.В. и Грищенко Л.В. за определение констант ионизации флуоресцеина в мицелярных средах, а также профессору Н.О. Мчедлову-Петросяну за плодотворное обсуждение результатов.

## Кислотно-основні та таутомерні рівноваги флуоресцеїну у змішаних міцелях цвітеріонної сульфобетайнової ПАР з катіонною, аніонною та неіонною ПАР

Н.О. Водолазька

Харківський національний університет імені В.Н. Каразіна  
пл. Свободи, 4, Харків, 61022, Україна, vodolazkaya@univer.kharkov.ua

За допомогою спектрофотометричного методу визначено показники «уважних» констант іонізації флуоресцеїну у змішаних міцелях цвітеріонної ПАР – цетилдиметиламонійпропансульфонату – з катіонною, аніонною та неіонною ПАР. По спектрах поглинання барвника зроблено висновки про таутомерію молекулярних та іонних форм.

**Ключові слова:** флуоресцеїн, міцели, спектри поглинання барвника, константи іонізації

## Acid-base and tautomeric equilibria of fluorescein in mixed micelles of zwitterionic sulfobetaine surfactant with cationic, anionic and nonionic surfactants

N.A. Vodolazkaya

V.N. Karazin Kharkov National University  
4 Svoboda Sq., Kharkov, 61022, Ukraine, vodolazkaya@univer.kharkov.ua

Values of “apparent” ionization constants of fluorescein were determined in mixed zwitterionic surfactant micelles – cetyltrimethylammoniumpropanesulfonate – with cationic, anionic and nonionic surfactants by spectrophotometric method. The tautomerism of both molecular and ionic forms has been found from the absorption spectra of dyes.

**Keywords:** fluorescein, micelles, absorption spectra of dye, ionization constants

### ЛИТЕРАТУРА

1. Haugland R.P. Handbook of fluorescent probes and research products. – Eugen: Molecular Probes, 2002. – 966 p.
2. Мчедлов-Петросян Н.О. Флуоресцеиновые красители в растворах – хорошо изученные системы? // Вестник Харьковского национального университета. Химия. – 2004. – № 626, вып.11 (34). – С. 221–312.
3. Balzani V., Ceroni P., Gesslermann S. et al. Fluorescent guests hosted in fluorescent dendrimers // Tetrahedron. – 2002. – V. 58. – P. 629–637.
4. Lavis L.D., Rutkovski T.J., Raines R.T. Tuning the  $pK_a$  of fluorescein to optimize binding assays // Anal. Chem. – 2007. – V. 79, N 17. – P. 6775–6782.
5. Biswas S., Bhattacharya S.Ch., Sen P.K., Moulik S.P. Absorption and emission spectroscopic studies of fluorescein dye in alkanol, micellar and microemulsion media // J. Photochem Photobiol. A. – 1999. – V. 123. – P. 121–128.
6. Gholivand M.B., Ghasemi J.B., Saaidpour S., Mohajeri A. Spectrophotometric study of the effects of surfactants and ethanol on the acidity constants of fluorescein // Spectrochim. Acta, Part A. – 2008. – V. 71. – P. 1158–1165.
7. Niazi A., Yazdanipour A., Ghasemi J. et al. Spectrophotometric determination of the dissociation constants of fluorescein in micellar media // Croat. Chem. Acta. – 2009. – V. 82, N 4. – P. 753–759.
8. Niazi A., Yazdanipour A., Ghasemi J. et al. Spectrophotometric investigation of the acidity constants of fluorescein in various water-organic solvent media // Chem. Eng. Comm. – 2008. – V. 195. – P. 1257–1268.
9. Kibblewhite J., Drummond C.J., Grieser F., Thistlethwaite P.J. Lipoidal eosin and fluorescein derivatives as probes of the electrostatic characteristics of self-assembled surfactant-water interfaces // J. Phys. Chem. – 1989. – V. 93, N 21. – P. 7464–7473.
10. Mchedlov-Petrosyan N.O. Protolytic equilibrium in lyophilic nanosized dispersions: differentiating influence of the pseudophase and salt effects // Pure Appl. Chem. – 2008. – V. 80, N 7. – P. 1459–1510.
11. Mchedlov-Petrosyan N.O., Kleshchevnikova V.N. Influence of the cetyltrimethylammonium chloride micellar pseudophase on the protolytic equilibria of oxyxanthene dyes at high bulk phase ionic strength // J. Chem. Soc., Faraday Trans. – 1994. – V. 90, N 4. – P. 629–640.
12. Водолазкая Н.А., Шахова П.В., Мчедлов-Петросян Н.О. Кислотно-основные и таутомерные равновесия флуоресцеиновых красителей в водных мицеллярных растворах цвиллерионного сульфобетаинового поверхностно-активного вещества // Журнал общей химии. – 2009. – Т. 79, № 7. – С. 1081–1089.
13. Li F., Li G.-Z., Chen J.-B. Synergism in mixed zwitterionic-anionic surfactant solutions and the aggregation numbers of the mixed micelles

- // Colloids and Surfaces. A. – 1998. – V. 145. – P. 167–174.
14. *Guo L.N.* Solution behavior of dye – surfactant association // J. Colloid Interface Sci. – 1994. – V. 63, N 2. – P. 334-346.
15. *Мчедлов-Петросян Н.О.* Дифференцирование силы органических кислот в истинных и организованных растворах. – Харьков: Харьковский национальный университет имени В.Н. Каразина, 2004. – 326 с.
16. *Холин Ю.В.* CLINP 2.1, a software program for computation of stability constants and physicochemical parameters of complex compounds in solutions, extractional and sorptional systems on the base of composition-property dependencies [Электронный ресурс] // Режим доступа: <http://www-chemo.univer.kharkov.ua/kholin/clinp.html>.
17. *Mchedlov-Petrossyan N.O., Timiy A.V., Vodolazkaya N.A.* Ionization and tautomerism of fluorescein dyes in mixed micellar solutions // Вісник Харківського національного університету. – 2002. – № 549, вип. 8 (31). – С. 144–157.

*Поступила 06.09.2013, принята 15.01.2014*